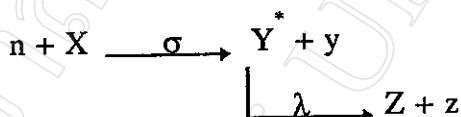


## บทที่ 2

## ทฤษฎีและหลักการวิเคราะห์

## 2.1 ทฤษฎี

การวิเคราะห์ปริมาณธาตุโดยการอาบรังสีนิวตรอน เป็นวิธีการวิเคราะห์ที่มีพื้นฐานจากปรากฏการณ์ทางนิวเคลียร์ กล่าวคือยิงหรืออาบสารตัวอย่างด้วยรังสีนิวตรอนพลังงานต่างๆ เพื่อเหนี่ยวนำนิวเคลียสของสารตัวอย่างซึ่งเป็นนิวเคลียสเสถียรให้เปลี่ยนสภาพไปเป็นนิวเคลียสกัมมันตรังสีตามปฏิกิริยานิวเคลียร์ชนิดต่างๆ เช่น  $(n,\gamma)$   $(n,2n)$   $(n,p)$  และ  $(n,\alpha)$  เป็นต้น ซึ่งปฏิกิริยานิวเคลียร์ของนิวเคลียสเสถียรของธาตุแต่ละชนิด ต่างก็มี threshold energy และ reaction cross-section ที่แตกต่างกันออกไป สามารถอธิบายได้ด้วยแผนภูมิดังนี้ (Nargolwalla.S.S.,1973)



ซึ่งมีความหมายว่า เมื่อนิวเคลียสเสถียร X เกิดอันตรกิริยากับอนุภาคนิวตรอน มันจะเปลี่ยนสภาพไปเป็นนิวเคลียสกัมมันตรังสี  $Y^*$  ตามปฏิกิริยานิวเคลียร์ชนิด  $(n,\gamma)$  ด้วยค่า reaction cross-section  $\sigma$  ในขณะเดียวกันนิวเคลียสกัมมันตรังสี  $Y^*$  ก็สลายตัวไปเป็นนิวเคลียส Z (ซึ่งอาจจะเป็นนิวเคลียสเสถียรหรือไม่เสถียรก็ได้) ด้วยค่าการสลายตัวคงที่ (decay constant)  $\lambda$  ตามสมการ z อาจเป็น  $\beta^-$  หรือ  $\beta^+$  ขึ้นกับชนิดของนิวเคลียส  $Y^*$  และถ้านิวเคลียส Z ไม่อยู่ในสถานะ ground state energy นิวเคลียสนี้ก็พลดปล่อยพลังงานออกมาในรูปของการแผ่รังสีแกมมาไปลังงานต่างๆซึ่งเป็นสมบัติเฉพาะตัวของนิวเคลียสแต่ละชนิด

ตามแผนภูมิดังกล่าว ให้  $t_a$  เป็นเวลาในการอาบรังสีนิวตรอน (activation time) จะพิจารณาได้ว่า ณ ที่เวลา  $0 < t \leq t_a$  ซึ่งเป็นช่วงเวลาที่กำลังอาบรังสีนิวตรอนอยู่นั้น อัตราการเกิดนิวเคลียสกัมมันตรังสี  $Y^*$  จะมีค่าตามสมการ

$$\frac{dN}{dt} = \sigma \phi N_T - \lambda N \quad \text{-----} \quad (2.1)$$

เมื่อ  $N_T$  และ  $N$  เป็นจำนวนนิวเคลียสของเป้านิวเคลียสเสถียร  $X$  และ

นิวเคลียสกัมมันตรังสี  $Y^*$  ตามลำดับ

$\phi$  เป็นฟลักซ์ของนิวตรอน มีหน่วยเป็น(neutrons/cm<sup>2</sup>-sec)

ตามสมการที่ (2.1) นั้นเทอม  $\sigma\phi N_T$  เป็นอัตราการเปลี่ยนสภาพนิวเคลียสเสถียร  $X$  เป็นนิวเคลียสกัมมันตรังสี  $Y^*$  สำหรับเทอม  $-\lambda N$  เป็นอัตราการสลายตัวของนิวเคลียสกัมมันตรังสี  $Y^*$  ไปเป็นนิวเคลียส  $Z$  ซึ่งในกรณีที่มีการอาบรังสีนิวตรอนสิ้นสุดลงแล้ว กระบวนการเปลี่ยนแปลงที่เกิดขึ้นจะมีแต่การสลายตัวของนิวเคลียสกัมมันตรังสี  $Y^*$  ไปเป็นนิวเคลียส  $Z$  อย่างเดียวเท่านั้น ดังนั้น ณ ที่เวลา  $t > t_0$  เราจะสามารถพิจารณาได้ว่า นิวเคลียสกัมมันตรังสี  $Y^*$  จะมีอัตราการสลายตัว ตามสมการ

$$\frac{dN}{dt} = -\lambda N \quad \text{-----} \quad (2.2)$$

สมการที่ (2.2) เป็นสมการแสดงอัตราการสลายตัวของนิวเคลียสกัมมันตรังสี  $Y^*$  ภายหลังจากการอาบรังสีนิวตรอนสิ้นสุดลงแล้ว ทั้งนี้สมการที่ (2.1) และสมการที่ (2.2) เป็นสมการพื้นฐานที่ใช้ในการวิเคราะห์หาปริมาณธาตุ ตามวิธีวิเคราะห์แบบ FNAA โดยทั่วไป กล่าวคือ ถ้าพิจารณาให้ในตอนเริ่มต้นไม่มีจำนวนนิวเคลียสกัมมันตรังสี  $Y^*$  อยู่เลย และจำนวนเป้านิวเคลียส  $X$  ที่เปลี่ยนสภาพไปเป็นนิวเคลียสกัมมันตรังสี  $Y^*$  มีจำนวนน้อยมากจนสามารถพิจารณาได้ว่าจำนวนเป้านิวเคลียส  $N_T$  มีค่าคงที่ อีกทั้งพิจารณาให้ฟลักซ์ของนิวตรอน ( $\phi$ ) มีค่าคงที่แล้ว สมการที่ (2.1) สามารถเขียนใหม่ได้ดังนี้

$$\frac{dN}{(\sigma\phi N_T - \lambda N)} = dt \quad \text{-----} \quad (2.3)$$

หรือ

$$\int_0^N \frac{d(\sigma\phi N_T - \lambda N)}{(\sigma\phi N_T - \lambda N)} = -\lambda \int_0^t dt \quad \text{-----} \quad (2.4)$$

เมื่ออินทิเกรตตามขอบเขต แต่  $0 \rightarrow N$  และ  $0 \rightarrow t$  จะได้ว่า

$$\ln(\sigma \phi N_T - \lambda N) - \ln(\sigma \phi N_T) = -\lambda t \quad \text{----- (2.5)}$$

จัดสมการที่ (2.5) ใหม่ จะได้

$$\ln\left(\frac{\sigma \phi N_T - \lambda N}{\sigma \phi N_T}\right) = -\lambda t$$

หรือ

$$1 - \frac{\lambda N}{\sigma \phi N_T} = e^{-\lambda t}$$

ดังนั้น

$$N = \frac{\sigma \phi N_T}{\lambda} (1 - e^{-\lambda t}) \quad \text{----- (2.6)}$$

สมการที่ (2.6) เป็นสมการที่ใช้ในการคำนวณหาจำนวนนิวเคลียสกัมมันตรังสี ที่เกิดขึ้น และเหลืออยู่ ณ ที่เวลา  $t$  ใดๆ เมื่อ  $t < t_a$  ถ้ากำหนดให้  $N_0$  เป็นจำนวนนิวเคลียสกัมมันตรังสี ณ ที่เวลา  $t = t_a$  แล้วจากสมการที่ (2.6) จะได้ว่า

$$N_0 = \frac{\sigma \phi N_T}{\lambda} (1 - e^{-\lambda t_a}) \quad \text{----- (2.7)}$$

และจากสมการที่ (2.2) เราก็สามารถเขียนใหม่ได้คือ

$$\frac{dN}{N} = -\lambda dt \quad \text{----- (2.8)}$$

หรือ

$$\int_{N_0}^N \frac{dN}{N} = -\lambda \int_{t_a}^t dt$$

เมื่ออินทิเกรตตามขอบเขต แต่  $N_0 \rightarrow N$  และ  $t_0 \rightarrow t$  จะได้ว่า

$$\ln N - \ln N_0 = -\lambda t + \lambda t_a \quad \text{----- (2.9)}$$

จัดสมการที่ (2.9) จะได้ว่า

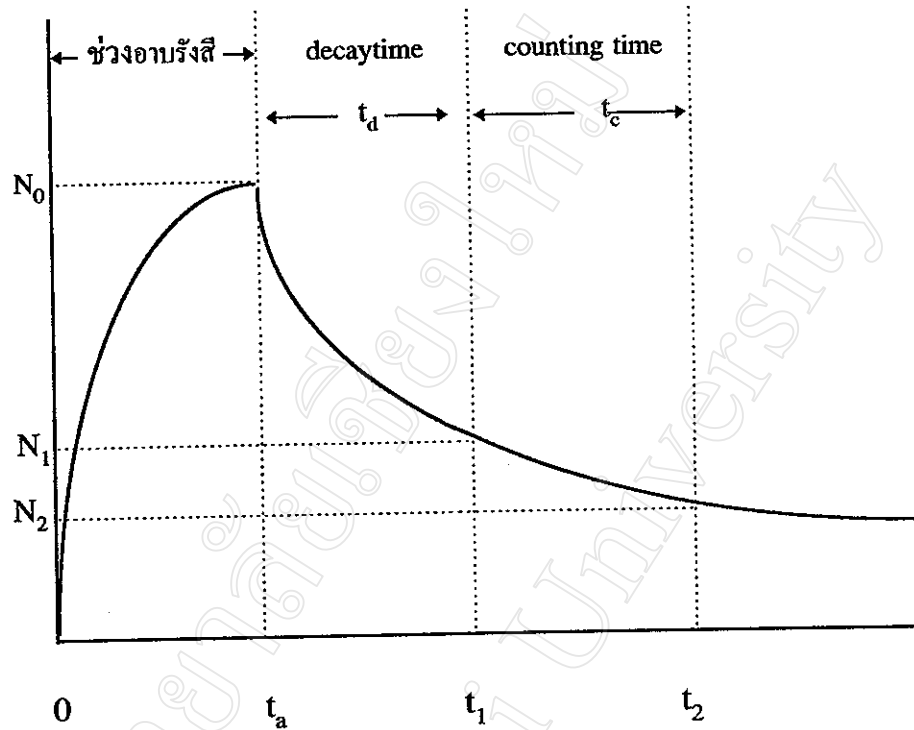
$$\ln\left(\frac{N}{N_0}\right) = -\lambda(t - t_a)$$

ดังนั้น

$$N = N_0 e^{-\lambda(t-t_a)} \quad \text{----- (2.10)}$$

สมการที่ (2.10) เป็นสมการที่ใช้ในการคำนวณหาจำนวนนิวเคลียสกัมมันตรังสี  $Y^*$  ณ ที่เวลา  $t$  ใดๆ เมื่อ  $t > t_a$  โดยที่  $N_0$  ในสมการนี้ จะมีค่าเป็นไปตามสมการที่ (2.7) และช่วงเวลา  $t - t_a$  นี้ เรียกว่า cooling time หรือ decay time ( $t_d$ ) ทั้งนี้จำนวนนิวเคลียสกัมมันตรังสี  $Y^*$  ที่เวลา  $t$  ใดๆ จะมีความสัมพันธ์กับเวลา  $t$  นั้นๆ ดังแสดงในรูปที่ 2.1

ในทางปฏิบัติ เราจะไม่สามารถตรวจวัดจำนวนนิวเคลียสกัมมันตรังสี  $Y^*$  ณ ที่เวลา  $t$  ใดๆ ได้โดยตรง แต่สิ่งที่ตรวจวัดได้นั้นจะเป็นปริมาณกัมมันตภาพรังสีที่เกิดจากการสลายตัวของนิวเคลียสในช่วงระยะเวลาที่ทำการตรวจวัด ตัวอย่างเช่น ถ้าเริ่มทำการตรวจวัดที่เวลา  $t_1$  และไปสิ้นสุดที่เวลา  $t_2$  ดังแสดงในรูปที่ 2.1



รูปที่ 2.1 เส้นกราฟแสดงกัมมันตภาพรังสีของนิวเคลียสใดๆที่ถูกอาบรังสีนิวตรอน เป็นเวลานาน ( $t_a$ ) มี decay time ( $t_d$ ) และ counting time ( $t_c$ )

จากสมการที่ (2.10) จะหาได้ว่า จำนวนนิวเคลียสกัมมันตรังสี  $N_1$  ณ ที่เวลา  $t_1$  และ  $N_2$  ณ ที่เวลา  $t_2$  จะมีค่าตามสมการ

$$N_1 = N_0 e^{-\lambda(t_1 - t_a)} \quad \text{----- (2.11)}$$

$$N_2 = N_0 e^{-\lambda(t_2 - t_a)} \quad \text{----- (2.12)}$$

จากสมการที่ (2.11) และสมการที่ (2.12) จะหาได้ว่าจำนวนนิวเคลียสกัมมันตรังสีที่สลายตัวไปในช่วงเวลา  $t_1$  และ  $t_2$  คือ

$$\Delta N = N_1 - N_2 \quad \text{----- (2.13)}$$

$$\Delta N = N_0 [e^{-\lambda(t_1 - t_a)} - e^{-\lambda(t_2 - t_a)}] \quad \text{----- (2.14)}$$

จากรูปที่ 2.1 จะได้ว่า  $t_1$  คือ  $t_a + t_d$  เมื่อ  $t_d$  เรียกว่า decay time

$t_2$  คือ  $t_a + t_d + t_c$  เมื่อ  $t_c$  เรียกว่า counting time

ดังนั้นสมการที่ (2.14) จะเขียนใหม่ได้ว่า

$$\Delta N = N_0 e^{-\lambda t_d} (1 - e^{-\lambda t_c}) \quad \text{----- (2.15)}$$

แทนค่า  $N_0$  จากสมการที่ (2.7) ลงในสมการที่ (2.15) จะได้

$$\Delta N = \frac{\sigma \phi N_T}{\lambda} (1 - e^{-\lambda t_a}) e^{-\lambda t_d} (1 - e^{-\lambda t_c}) \quad \text{----- (2.16)}$$

ตามสมการที่ (2.16) จำนวนเป้านิวเคลียส  $N_T$  สามารถเขียนให้อยู่ในรูปของมวลดังสมการ

$$N_T = \frac{m}{M} N_A B \quad \text{----- (2.17)}$$

เมื่อ  $N_A$  คือ Avogadro's number มีค่าเท่ากับ  $6.02 \times 10^{23}$  /mole

$m$  คือมวลของธาตุที่ถูกอบรังสี

$M$  คือ atomic mass ของธาตุนั้น

$B$  คือ percentage abundance

ดังนั้นสมการที่ (2.16) จะเขียนใหม่ได้ดังนี้

$$\Delta N = \frac{\sigma \phi m B N_A}{\lambda M} (1 - e^{-\lambda t_a}) e^{-\lambda t_d} (1 - e^{-\lambda t_c}) \quad \text{----- (2.18)}$$

ในการทดลองจำนวนนิวเคลียสกัมมันตรังสีที่สลายตัวไปตามสมการที่(2.16)สามารถตรวจวัดได้ในเทอมของจำนวนนับ (counts) จากเครื่องวัดรังสีแกมมา ซึ่งมีค่าขึ้นอยู่กับประสิทธิภาพของหัววัด ( $\epsilon$ ) และ gamma fraction ( $f$ )<sup>[i]</sup> ตามสมการดังนี้

$$\Delta N = \frac{C}{\epsilon f} \quad \text{-----} \quad (2.19)$$

เมื่อ  $C$  คือจำนวนรังสีแกมมาที่ตรวจวัดได้ในช่วงเวลา  $t_c$  มีหน่วยเป็น counts

เมื่อแทนค่า  $\Delta N$  จากสมการที่ (2.19) ลงไปในสมการที่ (2.18)จะได้ว่า

$$C = \frac{\epsilon B f \sigma \phi m N_A}{M \lambda} (1 - e^{-\lambda t_a}) e^{-\lambda t_d} (1 - e^{-\lambda t_c}) \quad \text{-----} \quad (2.20)$$

และ

$$m = \frac{M C \lambda}{\epsilon B f \sigma \phi N_A (1 - e^{-\lambda t_a}) e^{-\lambda t_d} (1 - e^{-\lambda t_c})} \quad \text{-----} \quad (2.21)$$

สมการที่ (2.21) เป็นสมการที่ใช้ในการคำนวณหาปริมาณของธาตุเจือปนในสารต่างๆ ตามวิธีการวิเคราะห์ แบบ FNAA โดยที่

$M$   $B$   $\sigma$   $\lambda$  และ  $f$  เป็นพารามิเตอร์คงที่ ที่มีค่าเป็นสมบัติเฉพาะตัวของนิวเคลียสเป้า

$X$  และนิวเคลียสกัมมันตรังสี  $Z$  (Richard.S.F., 1996)

$t_a$   $t_c$  และ  $t_d$  เป็นปริมาณที่กำหนดขึ้นมาเพื่อใช้ในการทดลอง

$\epsilon$  เป็นพารามิเตอร์คงที่ ที่มีค่าเป็นสมบัติเฉพาะตัวของระบบหัววัด

รังสีแกมมาหาได้จากการทดลอง

[i] คือสัดส่วนการสลายตัวของรังสีแกมมา คิดเทียบกับอัตราการสลายตัวของนิวเคลียสกัมมันตรังสีเริ่มต้น (parent nucleus)

## 2.2 หลักการวิเคราะห์

### 2.2.1 ธาตุเหล็ก (Fe)

ในธรรมชาติ ธาตุเหล็กจะมีอยู่สี่ไอโซโทป คือ  $^{54}\text{Fe}$   $^{56}\text{Fe}$   $^{57}\text{Fe}$  และ  $^{58}\text{Fe}$  ไอโซโทปที่มีเลขมวล 56 เป็นไอโซโทปที่มีอยู่ในธรรมชาติมากที่สุด เมื่อถูกยิงด้วยรังสีนิวตรอน ที่มีพลังงาน 14 MeV จะเกิดมีปฏิกิริยานิวเคลียร์ชนิดต่างๆ พร้อมทั้งให้พารามิเตอร์ที่สำคัญ ดังที่ได้แสดงไว้ในตารางที่ 2.1

จากการศึกษาของ Cuypers และคณะ (ค.ศ 2509) พบว่า ปฏิกิริยา  $^{56}\text{Fe}(n,p)^{56}\text{Mn}$  ซึ่งมีค่าครึ่งชีวิต  $T_{1/2} = 154.71$  นาที สามารถใช้วิเคราะห์มวลของเหล็กที่มีปริมาณระดับมิลลิกรัมในธาตุผสมได้ (Nargolwalla.S.S.,1973)

### 2.2.2 ธาตุโครเมียม (Cr)

ในธรรมชาติ ธาตุโครเมียมจะมีอยู่สี่ไอโซโทป คือ  $^{50}\text{Cr}$   $^{52}\text{Cr}$   $^{53}\text{Cr}$  และ  $^{54}\text{Cr}$  โดยมีค่า abundance ต่างกัน ไอโซโทปที่มีเลขมวล 52 และ 53 เป็นไอโซโทปที่สามารถใช้เป็นประโยชน์ในการวิเคราะห์ปริมาณธาตุแบบ FNAA โดยเฉพาะอย่างยิ่ง เมื่อถูกยิงด้วยรังสีนิวตรอนที่มีพลังงาน 14 MeV จะเกิดมีปฏิกิริยานิวเคลียร์ชนิดต่างๆ พร้อมทั้งให้พารามิเตอร์ที่สำคัญ ดังแสดงในตารางที่ 2.2

จากการศึกษาของ Steele และ Meinke (ค.ศ 2504) พบว่า ปฏิกิริยา  $^{52}\text{Cr}(n,p)^{52}\text{V}$  ซึ่งมีค่าครึ่งชีวิต  $T_{1/2}=3.75$  นาที มีความไว (sensitivity) ที่นิวตรอนฟลักซ์  $\phi = 10^8$  n/cm<sup>2</sup>-sec ประมาณ 139,810 counts/นาที เมื่อใช้ระบบเครื่องวัดรังสีแกมมา แบบ NaI(Tl) spectrometer (Nargolwalla.S.S.,1973)

ตารางที่ 2.1 ข้อมูลจากปฏิกิริยาระหว่าง นิวตรอนพลังงาน 14 MeV กับเหล็ก

(Richard.B.F.,1996)

Nuclear Reaction	Target Isotope abundance B (%)	Cross Section $\sigma$ (mb)	Half- life $T_{1/2}$ (min)	Gamma Energy $E_{\gamma}$ (MeV)	Gamma fraction $f$ (%)
$^{54}\text{Fe}(n,2n)^{53}\text{Fe}$	5.84	15	8.50	0.51	196
$^{56}\text{Fe}(n,p)^{56}\text{Mn}$	91.68	115.13	154.71	0.85	99
				1.81	27
				2.11	14
$^{57}\text{Fe}(n,p)^{57}\text{Mn}$	2.17	60	1.70	0.12	100
				0.13	100

ตารางที่ 2.2 ข้อมูลจากปฏิกิริยาระหว่าง นิวตรอนพลังงาน 14 MeV กับโครเมียม

(Richard.B.F.,1996)

Nuclear Reaction	Target Isotope abundance B (%)	Cross-Section $\sigma$ (mb)	Half- life $T_{1/2}$ (min)	Gamma Energy $E_{\gamma}$ (MeV)	Gamma fraction $f$ (%)
$^{50}\text{Cr}(n,2n)^{49}\text{Cr}$	4.31	27	41.90	0.15	13
				0.51	186
$^{52}\text{Cr}(n,2n)^{51}\text{Cr}$	83.76	285	40032	0.32	9
$^{52}\text{Cr}(n,p)^{52}\text{V}$	83.76	89	3.75	1.43	100
$^{53}\text{Cr}(n,p)^{53}\text{V}$	9.55	48	2.00	1.00	100

### 2.2.3 ธาตุอลูมิเนียม (Al)

ในธรรมชาติของอลูมิเนียมมีเพียงแต่ไอโซโทปเดียวคือ  $^{27}\text{Al}$  เมื่อถูกยิงด้วยรังสีนิวตรอนที่มีพลังงาน 14 MeV จะเกิดปฏิกิริยานิวเคลียร์ชนิดต่างๆ พร้อมทั้งมีพารามิเตอร์ที่สำคัญสำหรับการวิเคราะห์แบบ FNAA ดังแสดงไว้ในตารางที่ 2.3 การวิเคราะห์เกี่ยวกับอลูมิเนียมมักจะใช้ปฏิกิริยานิวเคลียร์  $^{27}\text{Al}(n,\alpha)^{24}\text{Na}$  หรือ  $^{27}\text{Al}(n,p)^{27}\text{Mg}$  สำหรับการทดลองครั้งนี้ได้อาศัยปฏิกิริยานิวเคลียร์  $^{27}\text{Al}(n,\alpha)^{24}\text{Na}$  เพื่อคำนวณหาความหนาแน่นฟลักซ์ของนิวตรอน

ตารางที่ 2.3 ข้อมูลจากปฏิกิริยาระหว่าง นิวตรอนพลังงาน 14 MeV กับอลูมิเนียม  
(Richard.B.F.,1996)

Nuclear Reaction	Target Isotope abundance B(%)	Cross - Section $\sigma(\text{mb})$	Half-life $T_{1/2}$ (min)	Gamma Energy $E_\gamma$ (MeV)	Gamma fraction $f$ (%)
$^{27}\text{Al}(n,\alpha)^{24}\text{Na}$	100	122.51	897.54	1.37 2.75	100 100
$^{27}\text{Al}(n,p)^{27}\text{Mg}$	100	81	9.5	0.85 1.01	70 30
$^{27}\text{Al}(n,\gamma)^{28}\text{Al}$	100	0.5	2.31	1.78	100

#### 2.2.4 การแทรกสอด

ในการวิเคราะห์แบบ FNAA ปัญหาที่มักจะประสบหรืออาจจะเกิดขึ้นได้เสมอมีอยู่สองประการคือ

1. การแทรกสอดของปฏิกิริยานิวเคลียร์ ระหว่างรังสีนิวตรอนกับธาตุชนิดต่างๆที่มีอยู่ในสารตัวอย่างเนื่องจากรังสีนิวตรอนที่ได้จากเครื่องกำเนิด(Generator) โดยทั่วไปจะมีพลังงานประมาณ 14 MeV ซึ่งมีค่ามากกว่าพลังงานขั้นต่ำ (threshold energy) ของปฏิกิริยาแบบ (n,2n) (n,p) และ (n, $\alpha$ ) เช่นในการวิเคราะห์ปริมาณของเหล็ก จากปฏิกิริยา  $^{56}\text{Fe}(n,p)^{56}\text{Mn}$  ที่มี กัมมันตภาพรังสีแกมมา พลังงาน 0.85 MeV อาจจะถูกแทรกสอดได้จากปฏิกิริยา  $^{55}\text{Mn}(n,\gamma)^{56}\text{Mn}$  หรือ  $^{59}\text{Co}(n,\alpha)^{56}\text{Mn}$  หรือการวิเคราะห์ปริมาณของโครเมียมจากปฏิกิริยา  $^{52}\text{Cr}(n,p)^{52}\text{V}$  ที่มีกัมมันตภาพรังสีแกมมา พลังงาน 1.43 MeV ก็อาจจะถูกแทรกสอดได้จากปฏิกิริยา  $^{51}\text{V}(n,\gamma)^{52}\text{V}$  หรือ  $^{55}\text{Mn}(n,\alpha)^{52}\text{V}$  ดังที่ได้แสดงไว้ในตารางที่ 2.4

2. การแทรกสอดของรังสีแกมมาที่มีพลังงานเท่ากันหรือใกล้เคียงกันหรือสารกัมมันตรังสีแต่ละชนิดที่เกิดขึ้นนั้นสลายตัวให้กัมมันตภาพรังสีที่มีพลังงานใกล้เคียงกันหรือเท่ากัน ซึ่งสร้างความลำบากต่อการวัดปริมาณกัมมันตภาพรังสีดังกล่าวนี้ และจะมีผลไปรบกวนทำให้การวิเคราะห์ปริมาณของธาตุนั้นๆผิดพลาดได้

แต่ปัญหาดังกล่าวแก้ไขได้โดยเลือกวิเคราะห์จากรังสีแกมมาพลังงานอื่นๆที่ปราศจากการรบกวนของพวกรังสีแกมมา กล่าวคือเพื่อจะบอกได้ว่าปริมาณกัมมันตรังสี แกมมาพลังงาน 0.85 MeV เกิดจากปฏิกิริยา  $^{56}\text{Fe}(n,p)^{56}\text{Mn}$  จริงจะต้องมี peaks ต่างๆ ที่พลังงาน 0.12 MeV 0.13 MeV 1.81 MeV และ 2.11 MeV หรือ peak หนึ่ง peak ใดเกิดขึ้นร่วมอยู่ด้วย เช่นเดียวกันถ้าปริมาณกัมมันตรังสีแกมมาพลังงาน 1.43 MeV เกิดจากปฏิกิริยา  $^{52}\text{Cr}(n,p)^{52}\text{V}$  จะต้อง มี peaks ที่พลังงาน 0.32 MeV 1.00 MeV และ 0.15 MeV หรือ peak หนึ่ง peak ใดเกิดขึ้นร่วมสนับสนุนด้วย

ตารางที่ 2.4 ข้อมูลที่อาจจะเกิดการแทรกสอดต่อปฏิกิริยาระหว่าง นิวตรอนพลังงาน 14 MeV กับเหล็ก โครเมียมและอลูมิเนียม (Richard.B.F.,1996)

Nuclear Reaction	Target Isotope abundance B (%)	Cross-Section $\sigma$ (mb)	Half-life $T_{1/2}$ (min)	Gamma Energy $E_{\gamma}$ (MeV)	Gamma fraction f (%)
$^{55}\text{Mn}(n,\gamma)^{56}\text{Mn}$	100	0.60	154.71	0.85	99
$^{59}\text{Co}(n,\alpha)^{56}\text{Mn}$	100	39.10	154.71	0.85	99
$^{51}\text{V}(n,\gamma)^{52}\text{V}$	99.76	0.80	3.75	1.43	100
$^{55}\text{Mn}(n,\alpha)^{52}\text{V}$	100	52.5	3.75	1.43	100
$^{24}\text{Mg}(n,p)^{24}\text{Na}$	78.60	186	897.54	1.37 2.75	100 100